

# Aplicações de uma solução eficiente para o problema do Menor Ancestral Comum

Aluno: Alexandre L J H Albano

Orientador: Prof. Dr. Alair Pereira do Lago

Monografia baseada em uma Iniciação Científica  
IME USP 2006



# Sumário

<b>1</b>	<b>Notações preliminares</b>	<b>1</b>
1.1	Alfabetos e palavras . . . . .	1
1.2	Grafos, árvores . . . . .	2
1.3	Vetores . . . . .	2
<b>2</b>	<b>Menor Ancestral Comum</b>	<b>3</b>
2.1	Definição . . . . .	3
2.2	Solução eficiente . . . . .	4
2.3	Uma solução eficientemente para o MVC . . . . .	5
<b>3</b>	<b>Resumo geral</b>	<b>7</b>
<b>4</b>	<b>Mínimo de um vetor e árvores cartesianas</b>	<b>9</b>
4.1	Descrição do problema . . . . .	9
<b>5</b>	<b><math>A^+</math> Árvore de Reconhecimento</b>	<b>15</b>
5.1	Definições iniciais . . . . .	15
5.2	Um caso particular: A Árvore dos Sufixos . . . . .	16
5.3	A Árvore dos Sufixos de um conjunto de palavras . . . . .	17
5.4	Uma construção eficiente de Árvores dos Sufixos . . . . .	17
<b>6</b>	<b>Listagem de documentos</b>	<b>19</b>
6.1	Descrição do problema . . . . .	19
6.2	Um algoritmo eficiente . . . . .	19
<b>7</b>	<b>LCS</b>	<b>25</b>
7.1	Descrição do problema . . . . .	25
7.2	Motivação . . . . .	25
7.3	Algoritmo $O(nm)$ ( $n =  s $ , $m =  t $ ) . . . . .	26

7.4	Preliminares para um segundo algoritmo para o LCS . . . . .	27
7.5	O algoritmo $O((n+m)d)$ de Myers . . . . .	27
7.6	Análise do consumo de tempo . . . . .	32
7.7	Melhoria da complexidade . . . . .	33
7.8	Análise do algoritmo modificado . . . . .	35
7.9	Como obter o LCS . . . . .	35
<b>8</b>	<b>Parte subjetiva</b> . . . . .	<b>37</b>
8.1	Escolha do tema . . . . .	37
8.2	Disciplinas mais relevantes para este trabalho . . . . .	37
8.3	Desafios e frustrações . . . . .	38
8.4	Agradecimentos . . . . .	38

# Capítulo 1

## Notações preliminares

Para podermos resumir de maneira breve e explicitar o objetivo deste texto, será necessário primeiramente introduzir a notação utilizada no desenvolvimento deste trabalho. Também iremos descrever o problema do Menor Ancestral Comum antes de exibirmos uma síntese geral.

### 1.1 Alfabetos e palavras

**Definição 1** *Um alfabeto é um conjunto finito, não vazio, cujos elementos serão chamados de símbolos.*

**Exemplo 2**  $\Sigma = \{a, b, c, d, e, \dots, v, x, z\}$

**Definição 3** *Uma palavra sobre um alfabeto  $\Sigma$  é uma seqüência finita (possivelmente vazia) de elementos de  $\Sigma$ . No caso da seqüência vazia, a palavra será denotada por 1.*

**Notação 4** *Se  $u, w$  são palavras tais que  $u$  é prefixo de  $w$ , denotamos por  $u^{-1}w$  a palavra obtida pela remoção de  $u$  em  $w$ .*

**Notação 5** *O conjunto das palavras sobre um alfabeto  $A$  será denotado  $A^*$ . O conjunto  $A^* \setminus \{1\}$  será denotado  $A^+$ .*

**Exemplo 6** *Se  $\Sigma = \{a, b, n\}$ , então exemplos de palavra sobre  $\Sigma$  são: banana, naba, aba.*

## 1.2 Grafos, árvores

Introduzimos agora a notação apropriada para o tratamento de grafos e árvores. Omitiremos as definições básicas sobre grafos, na certeza que o leitor certamente já está bastante familiarizado com tais definições.

**Notação 7** Um grafo orientado  $\vec{G}$  será denotado por  $\vec{G} = (V, E)$ , onde  $V$  é o conjunto dos vértices de  $\vec{G}$  e  $E$  é o conjunto das arestas de  $\vec{G}$ .

**Notação 8** Um caminho em um grafo  $\vec{G}$  será denotado por  $\langle v_1, v_2, \dots, v_n \rangle$

**Notação 9** Uma árvore  $T$  será denotada por  $T = (V, E)$ , e é um grafo conexo tal que, existe um vértice  $Raiz(T)$  que satisfaz a seguinte propriedade: para todo vértice  $v \in V$ , tem-se que o caminho de  $Raiz(T)$  a  $v$  existe e é único.

## 1.3 Vetores

**Notação 10** Um vetor  $V$  de tamanho  $n$  será denotado por  $V[1 \dots n]$ . Naturalmente,  $V[i]$  representa o  $i$ -ésimo elemento de  $V$  ( $1 \leq i \leq n$ ). Subvetores de  $V$  serão denotados por  $V[i \dots j]$  para quaisquer inteiros  $i \leq j$ .

# Capítulo 2

## Menor Ancestral Comum

### 2.1 Definição

Seja  $T = (V, E)$  uma árvore, e seja  $v \in V$ . Um ancestral de  $v$  é um vértice  $u \in V$  contido no caminho de  $Raiz(T)$  até  $v$ . Um ancestral comum a  $v_1, v_2$  é, obviamente, um vértice  $u$  que é ancestral dos dois vértices  $v_1, v_2$ . Note que  $Raiz(T)$  é ancestral comum a quaisquer dois vértices.

**Definição 11** Se  $T = (V, E)$  é uma árvore, definimos o menor ancestral comum a dois vértices  $v_1, v_2 \in V$  como o vértice  $u$  que, dentre todos os ancestrais comuns a  $v_1$  e  $v_2$ , possui maior distância até  $Raiz(T)$ .

Notação:  $mac(v_1, v_2) = u$ .

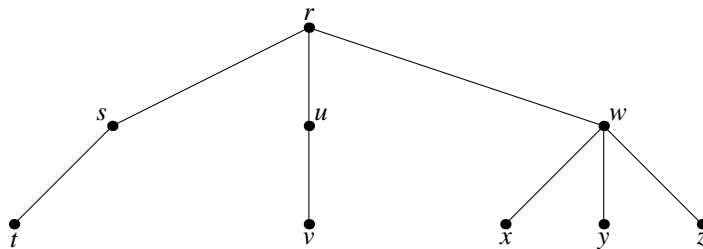


Figura 2.1: Exemplo de árvore

Na árvore acima, temos  $mac(x, z) = w = mac(w, z)$

## 2.2 Solução eficiente

Existe uma solução para o problema do MAC que pré-processa uma árvore  $T$  de  $n$  vértices utilizando  $O(n)$  unidades de tempo e espaço, e é capaz de responder a consultas  $u, v$  em tempo  $O(1)$ .

Vamos mostrar brevemente esta solução, ao exibirmos a relação entre o MAC e um problema aparentemente não correlato.

Considere novamente a árvore:

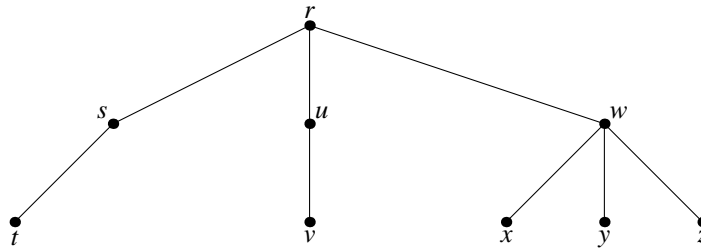


Figura 2.2: Exemplo de árvore

Chamemos de  $T$  a árvore acima. Realize uma busca em profundidade a partir de  $Raiz(T)$  e considere os vetores  $Busca$ ,  $Prof$ ,  $Desc$  e  $Aban$ , onde:

- $Busca[i]$ : associa um instante da busca em profundidade ao vértice sendo visitado naquele instante.
- $Prof[i]$ : associa um instante da busca em profundidade à profundidade do vértice  $Busca[i]$ .
- $Desc[v]$ : associa um vértice de  $T$  ao seu instante de descoberta.
- $Aban[v]$ : associa um vértice de  $T$  ao seu instante de abandono.

Temos então, neste exemplo:

$Busca[i]$	$r$	$s$	$t$	$s$	$r$	$u$	$v$	$u$	$r$	$w$	$x$	$w$	$y$	$w$	$z$	$w$	$r$
$i$	1	2	3	4	5	6	7	8	9	10	11	12	13	14	15	16	17

Tabela 2.1: Vetor  $Busca[i]$

$Prof[i]$	0	1	2	1	0	1	2	1	0	1	2	1	2	1	2	1	0
$i$	1	2	3	4	5	6	7	8	9	10	11	12	13	14	15	16	17

Tabela 2.2: Vetor  $Prof[i]$ 

$Desc[v]$	1	2	3	6	7	10	11	13	15
$v$	$r$	$s$	$t$	$u$	$v$	$w$	$x$	$y$	$z$

Tabela 2.3: Vetor  $Desc[v]$ 

$Aban[v]$	17	4	3	8	7	16	11	13	15
$v$	$r$	$s$	$t$	$u$	$v$	$w$	$x$	$y$	$z$

Tabela 2.4: Vetor  $Aban[v]$ 

Sejam  $v_1, v_2$  vértices de  $T$ . Suponha, sem perda de generalidade, que temos  $Desc[v_1] < Desc[v_2]$ . Não é difícil ver que o Menor Ancestral Comum de dois vértices  $v_1, v_2$  é o vértice de menor profundidade visitado no intervalo de tempo  $Aban[v_1], Desc[v_2]$ . Isto é,  $mac(v_1, v_2)$  é o vértice visitado no instante  $\text{argmin } Prof[Aban[v_1] \dots Desc[v_2]]$ .

**Exemplo 12** Considere os vértices  $v_1 = x, v_2 = z$  de nosso exemplo acima. Temos  $Aban[x] = 11, Desc[z] = 13$  e ainda  $\text{argmin } Prof[11 \dots 13] = 12$ . Agora,  $Busca[12] = w$  é o Menor Ancestral Comum de  $x$  e  $z$ .

O vetor  $Prof$  possui uma característica muito especial: seus elementos adjacentes variam sempre de  $\pm 1$ . Chamaremos um tal vetor de *vetor contínuo*. Se tivermos um algoritmo que pré-processa um vetor contínuo eficientemente e, a partir de então possa responder consultas  $(i, j)$  informando  $\text{argmin } Prof[i \dots j]$ , teremos uma solução de igual eficiência assintótica para o MAC.

## 2.3 Uma solução eficientemente para o MVC

Vimos que o problema do MAC pode ser reduzido ao problema do MVC (Mínimo de um Vetor Contínuo), então esboçaremos agora uma solução eficiente do MVC.

Considere um vetor contínuo  $V[1 \dots n]$  particionado em  $b$  “blocos”, com  $b \simeq \log n$ . Ao recebermos uma consulta  $(i, j)$ , iremos consultar três mínimos parciais (que foram calculados durante o pré-processamento) e retornar o mínimo entre eles:

1. O mínimo interno a um bloco inicial,
2. O mínimo de uniões de blocos inteiros e
3. O mínimo interno a um bloco final

Para calcular o segundo mínimo, calculamos explicitamente o mínimo de todas as uniões possíveis de blocos inteiros, utilizando tempo e espaço  $O(n)$ .

O primeiro e terceiro mínimos parciais também podem ser calculados com a mesma complexidade.<sup>1</sup> Chame de *normalizado* um vetor contínuo cujo primeiro elemento seja zero.

Note que existem  $O(2^b) = O(n)$  possíveis blocos normalizados, pois o próximo elemento é sempre uma escolha entre aumentar o elemento anterior de 1 ou diminuir o elemento anterior de 1.

Então pré-calcularemos as posições dos mínimos de cada bloco normalizado possível e guardamos estas posições para responder às futuras consultas. O leitor interessado pode conhecer mais a respeito em [APdL03].

---

<sup>1</sup>Esta técnica é conhecida como “Quatro russos”.

# Capítulo 3

## Resumo geral

Neste momento temos as definições necessárias para sintetizar o restante do texto.

Dada uma árvore  $T$ , qual(is) a(s) finalidade(s) de calcularmos  $mac(v_1, v_2)$  de maneira eficiente? Não pretendemos responder integralmente esta pergunta (algo aparentemente impraticável): todo o texto subsequente é um esforço direcionado à obtenção de uma resposta parcial desta questão.

Mais especificamente, nos ateremos a exibir três das finalidades supracitadas:

1. Calcular eficientemente o mínimo de qualquer subvetor de um vetor previamente dado.
2. Dado um conjunto de palavras  $\{d_1, \dots, d_k\}$ , responder eficientemente em quais documentos  $d_i$  uma palavra  $p$  qualquer ocorre.
3. Dadas palavras  $s, t$ , determinar o comprimento de sua subsequência comum máxima em tempo  $O(|s| + |t| + d^2)$ , onde  $d$  é uma grandeza que mede as diferenças entre  $s$  e  $t$ .

O próximo capítulo aborda a primeira finalidade exposta acima; seguido por um capítulo destinado à definição de uma estrutura de dados ( $A^+$  árvore de reconhecimento), visando a obtenção dos pré-requisitos indispensáveis para discorrermos acerca do segundo e terceiro itens da enumeração. Por fim, segue a parte subjetiva desta monografia.



# Capítulo 4

## Mínimo de um vetor e árvores cartesianas

### 4.1 Descrição do problema

Seja  $A[1 \dots n]$  um vetor de inteiros. Queremos algoritmos eficientes para descobrir qual é o menor elemento do subvetor  $A[i \dots j]$ , onde os inteiros  $i \leq j$  constituem uma consulta.

Se quisermos fazer várias consultas em um certo vetor  $A$ , seria desejável pré-processá-lo e então ser capaz de responder a consultas em tempo constante. Utilizando uma solução eficiente para o MAC conseguiremos pré-processar  $A$  em tempo e espaço lineares no seu número de elementos; a partir daí seremos capazes [BM00] de responder a consultas em tempo  $O(1)$ .

**Definição 13** *Uma árvore cartesiana  $T$  associada a um vetor  $A[1 \dots n]$  é uma árvore tal que, cada vértice  $u$  armazena um elemento do vetor  $A[1 \dots n]$  e sua respectiva posição; isto é,  $u = (A[i], i)$  para algum  $i$  com  $1 \leq i \leq n$ . Uma árvore cartesiana  $T$  é então recursivamente definida por:*

- *A raiz de  $T$  armazena o mínimo do vetor  $A[1 \dots n]$  e uma posição onde este mínimo ocorre. Chame de  $k$  esta posição. (lembramos que o mínimo pode ocorrer em várias posições).*
- *A subárvore enraizada à esquerda da raiz de  $T$  é a árvore cartesiana do subvetor  $A[1 \dots k - 1]$*
- *A subárvore enraizada à direita da raiz de  $T$  é a árvore cartesiana do subvetor  $A[k + 1 \dots n]$*

10CAPÍTULO 4. MÍNIMO DE UM VETOR E ÁRVORES CARTESIANAS

*Observação:* é claro que, na definição, fica subentendido que se os subvetores  $A[1 \dots k-1]$  ou  $A[k+1 \dots n]$  forem vazios, então não há subárvore enraizada naquela direção (esquerda ou direita).

**Exemplo 14** Considere o vetor  $A$ , onde:

$A[i]$	11	18	30	20	30	40	19
$i$	1	2	3	4	5	6	7

Tabela 4.1: Vetor  $A$

Sua árvore cartesiana é:

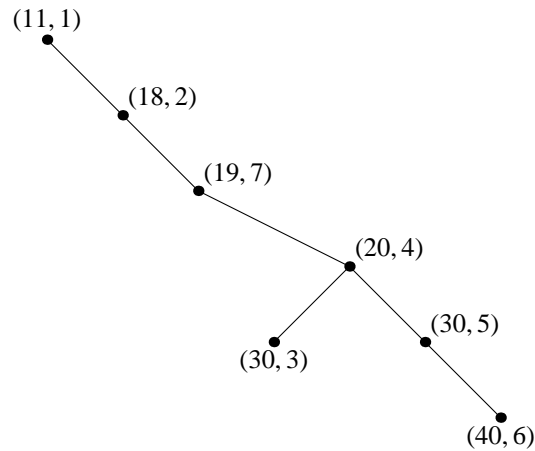


Figura 4.1: Árvore cartesiana de  $A$

Resolver uma instância do problema do MAC em uma árvore cartesiana é exatamente o que resolverá o problema do mínimo de um vetor. Antes de mostrar isso, mostraremos que uma árvore cartesiana de um vetor pode ser construída em tempo e espaço lineares no seu número de elementos.

**Proposição 15** Dado um vetor  $A[1 \dots n]$ , existe um algoritmo que constrói uma árvore cartesiana de  $A$  em  $O(n)$  unidades de tempo e espaço.

*Prova.* Chamemos de  $T$  a árvore cartesiana a ser construída. Primeiramente construiremos a árvore  $T_1$ , que será a árvore cartesiana (trivial) de  $A[1 \dots 1]$ . Após isso, construiremos cada  $T_{i+1}$  a partir de  $T_i$ . Chame o novo vértice

$(A[i + 1], i + 1)$  de  $u$ . Chame de “caminho mais à direita” de  $T_i$  a seqüência de vértices contidos no caminho<sup>1</sup> de  $(A[i], i)$  até  $Raiz(T_i)$ . Esta seqüência de vértices é tal que apenas filhos à direita são considerados.

Note que  $u$  pertencerá ao caminho mais à direita da árvore de  $T_{i+1}$ .

A construção se dá da seguinte forma: Compare  $A[i + 1]$  com os valores armazenados nos vértices do caminho mais à direita até achar um vértice  $v = (A[k], k)$  tal que  $A[k] < A[i + 1]$ . Agora, temos dois casos:

1. Se tal vértice  $v$  for achado, o vértice  $u$  será o novo filho à direita de  $v$  e a subárvore que estava à direita de  $v$  será agora subárvore à esquerda de  $u$ .
2. Caso  $v$  não exista, (isto é,  $A[i + 1]$  é menor do que todos os valores dos vértices do ramo à direita de  $T_i$ ), o vértice  $u$  será a raiz de  $T_{i+1}$ , e toda  $T_i$  será subárvore à esquerda de  $u$ .

Sendo a construção desta forma, cada comparação acarreta uma adição ou uma remoção de vértice do caminho mais à direita. Como cada vértice só é adicionado ao ramo mais à direita uma vez e é removido do ramo mais à direita no máximo uma vez, o número de comparações do algoritmo é  $O(n)$ . Além disso,  $T = T_n$  possui  $n$  vértices, portanto pode ser representada em  $O(n)$  unidades de espaço. ■

---

<sup>1</sup>Isto não é um caminho segundo a definição usual de árvore, e sim um caminho na “contra-mão”.

12CAPÍTULO 4. MÍNIMO DE UM VETOR E ÁRVORES CARTESIANAS

Exemplificamos a construção de  $T_7$  em função de  $T_6$  para o vetor  $A$  considerado anteriormente:

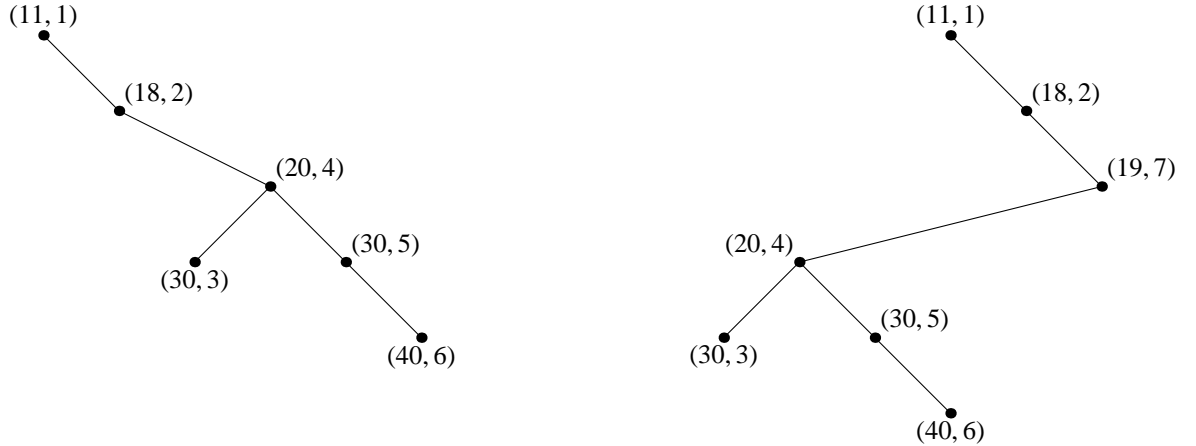


Figura 4.2: Último passo da construção de uma árvore cartesiana de  $A$

A árvore da esquerda é  $T_6$ , uma árvore cartesiana do subvetor  $A[1 \dots 6]$ . A árvore à direita é  $T_7$ , uma árvore cartesiana de  $A[1 \dots 7] = A$ .

**Proposição 16** *Se  $A[1 \dots n]$  é um vetor e  $T$  é uma árvore cartesiana de  $A$ , então o mínimo do subvetor  $A[i \dots j]$  é o valor armazenado no vértice  $MAC_T(u, v)$  onde  $u = (A[i], i)$  e  $v = (A[j], j)$ .*

*Prova.* Sejam  $i, j$  inteiros com  $i < j$ . Seja  $w = (A[k], k) = MAC_T(u, v)$ , onde  $u, v$  são como no enunciado da proposição.

Inicialmente, precisamos mostrar que  $u$  está na subárvore à esquerda de  $w$  e que  $v$  está na subárvore à direita de  $w$ .

Considere  $T_w$  (a subárvore de  $T$  enraizada em  $w$ ). É claro que  $u, v \in T_w$  (pois  $w$  é ancestral de  $u$  e  $v$ ). Agora, observamos que  $u, v$  não podem ambos estar na subárvore à esquerda (ou direita) de  $w$  (caso contrário, haveria um ancestral comum a  $u$  e  $v$  mais distante da raiz do que  $w$ ). Então  $u$  e  $v$  estão em subárvores diferentes. Agora, é fácil notar que se  $u$  pertencesse à subárvore à direita de  $w$  e se  $v$  pertencesse à subárvore à esquerda de  $w$ , teríamos uma contradição com a hipótese  $i < j$ . Assim, está provada a consideração inicial.

Pela definição de árvore cartesiana,  $A[k]$  é o mínimo de algum subvetor maximal  $A[\alpha \dots \beta]$ , isto é,  $A[k] = \min A[\alpha \dots \beta]$  onde  $\alpha$  é o menor possível e  $\beta$  é o maior possível.

Pela consideração inicial, o vértice  $u$  encontra-se na subárvore à esquerda de  $w$ , então  $A[i] = \min A[\gamma \dots \delta]$  para algum  $\gamma \geq \alpha$  e algum  $\delta \leq k - 1$ . Portanto,  $\alpha \leq i \leq k - 1$ .

Novamente pela consideração inicial, o vértice  $v$  encontra-se na subárvore à direita de  $w$ , então  $A[j] = \min A[\tau \dots \epsilon]$  para algum  $\tau \geq k + 1$  e algum  $\epsilon \leq \beta$ . Portanto,  $k + 1 \leq j \leq \beta$ .

Por fim,  $\min A[\alpha \dots \beta] = \min A[i \dots j]$  pois  $\alpha \leq i \leq k \leq j \leq \beta$ , e a proposição está provada. ■

Temos então um algoritmo que pré-processa um vetor  $A[1 \dots n]$  em  $O(n)$  unidades de tempo, e um algoritmo que responde consultas  $(i, j)$  informando o valor  $\min A[i \dots j]$  em tempo constante. É fácil ver que, se quisermos obter uma posição onde o mínimo do subvetor  $A[i \dots j]$  ocorre (isto é, queremos um  $\operatorname{argmin} A[i \dots j]$ ), basta modificar trivialmente o retorno do algoritmo de consultas, uma vez que o vértice de uma árvore cartesiana armazena um valor e sua respectiva posição.

Determinar a posição do mínimo de um vetor de maneira eficiente será muito importante para o algoritmo da listagem de documentos.



# Capítulo 5

## $A^+$ Árvore de Reconhecimento

### 5.1 $A^+$ Árvores

Para todas as seguintes definições, seja  $A$  um alfabeto.

**Definição 17** *Uma  $A^+$  árvore é uma tripla  $T = (V, E, \lambda)$  onde  $(V, E)$  é uma árvore e  $\lambda : E \rightarrow A^+$  é uma rotulação nas arestas. Além disso, exigimos que duas arestas distintas com mesmo vértice inicial possuam rótulos cujas primeiras letras são distintas.*

**Definição 18** *A rotulação  $\lambda$  de uma  $A^+$  árvore é naturalmente estendida para os vértices:  $\lambda(v)$  é a concatenação dos rótulos das arestas que formam o caminho de  $Raiz(T)$  até  $v$ .<sup>1</sup>*

É fácil mostrar, utilizando as duas definições acima, que os rótulos dos vértices de uma  $A^+$  árvore são todos distintos.

**Definição 19** *Seja  $W$  um conjunto de palavras. Diremos que uma  $A^+$  árvore  $(T, E, \lambda)$  reconhece  $W$  se existir um subconjunto de vértices  $F \subseteq V$  tal que  $\lambda(F) = \{\lambda(f) : f \in F\} = W$ . Neste caso, chamamos cada vértice  $f \in F$  de vértice final.*

Uma  $A^+$  árvore  $T$  que reconhece  $W$  desempenha um papel análogo ao de um autômato finito determinístico que reconhece  $W$ . As arestas de  $T$  fazem

---

<sup>1</sup>Além disso,  $\lambda(Raiz(T)) = 1$ , por definição, para qualquer  $A^+$  árvore  $T$ .

papel análogo às transições de estado de um autômato<sup>2</sup>. Nos dois casos, os vértices finais coincidem e  $Raiz(T)$  faz o papel de “estado inicial” de um autômato. Além disso, arestas e vértices artificiais eventualmente precisam ser adicionados a uma  $A^+$  árvore para obtermos um autômato.

## 5.2 $A^+$ Árvore de Reconhecimento

O conceito de  $A^+$  árvore de reconhecimento é motivado pela seguinte indagação natural: qual é a “menor”<sup>3</sup>  $A^+$  árvore que reconhece um fixado conjunto  $W$  de palavras?

**Definição 20** *Uma palavra  $x \in A$  é dita prefixo de um conjunto de palavras  $W$  se  $x$  for prefixo de alguma palavra  $w \in W$ .*

**Definição 21** *Seja  $W$  um conjunto de palavras. Uma bifurcação de  $W$  é uma palavra  $x \in A^+$  tal que  $x$  é prefixo de  $W$  e existem letras distintas  $a, b \in A$  tais que  $xa$  e  $xb$  são prefixos de  $W$ . Denotamos o conjunto das bifurcações de  $W$  por  $Bifurc(W)$ .*

**Definição 22** *A  $A^+$  árvore de reconhecimento de um conjunto de palavras  $W \subseteq A^+$  é a  $A^+$  árvore  $(V, E, \lambda)$  onde*

$$\begin{aligned} V &= W \cup Bifurc(W) \\ E &= \{(u, v) \in V \times V \mid u = \max_{|x|} \{x \in V \mid x \text{ é prefixo próprio de } v\}\} \\ \lambda: E &\longrightarrow A^+ \\ (u, v) &\longrightarrow u^{-1}v. \end{aligned}$$

É possível provar que, a  $A^+$  árvore de reconhecimento de  $W \subseteq A^+$  definida acima de fato reconhece  $W$  conforme nossa definição [APdL03].

## 5.3 Um caso particular: A Árvore dos Sufixos

Um caso particular importante a se considerar é a  $A^+$  árvore de reconhecimento de  $W = Suf(x)$ , onde  $Suf(x)$  é o conjunto dos sufixos da palavra  $x$ .

---

<sup>2</sup>É necessário pensar em uma adaptação: as transições do autômato devem estar rotuladas com símbolos, e não palavras sobre  $A$ .

<sup>3</sup>Não entraremos no mérito de medir o tamanho de uma  $A^+$  árvore.

#### 5.4. A ÁRVORE DOS SUFIXOS DE UM CONJUNTO DE PALAVRAS 17

Neste caso, chamamos esta  $A^+$  árvore de reconhecimento de  $W$  simplesmente por Árvore dos Sufixos.

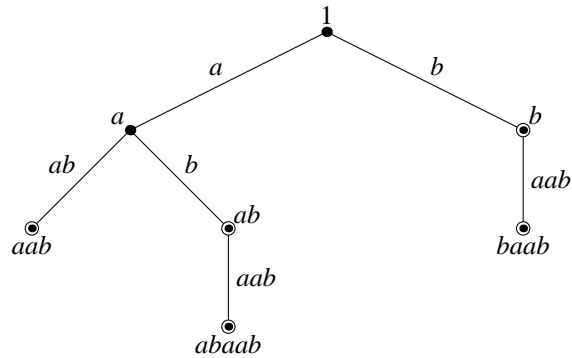


Figura 5.1: Árvore dos Sufixos de  $abaab$ . Os vértices finais estão destacados com dois círculos.

Será útil para nós lidarmos com Árvores dos Sufixos cujas arestas que partam de um vértice  $v$  tenham rótulos em ordem lexicográfica. Convencionaremos que as arestas que partem de qualquer  $v \in V$  da esquerda para a direita estão rotuladas com palavras em ordem lexicográfica crescente.

### 5.4 A Árvore dos Sufixos de um conjunto de palavras

A generalização do conceito de Árvore dos Sufixos de uma palavra para o conceito de Árvore dos Sufixos de um conjunto de palavras é imediata: basta considerar a  $A^+$  árvore de reconhecimento de  $Suf(W)$ , onde  $W$  é um conjunto de palavras.

Comumente nos referiremos a essa generalização do conceito de Árvore dos Sufixos simplesmente por “Árvore dos Sufixos Generalizada”.

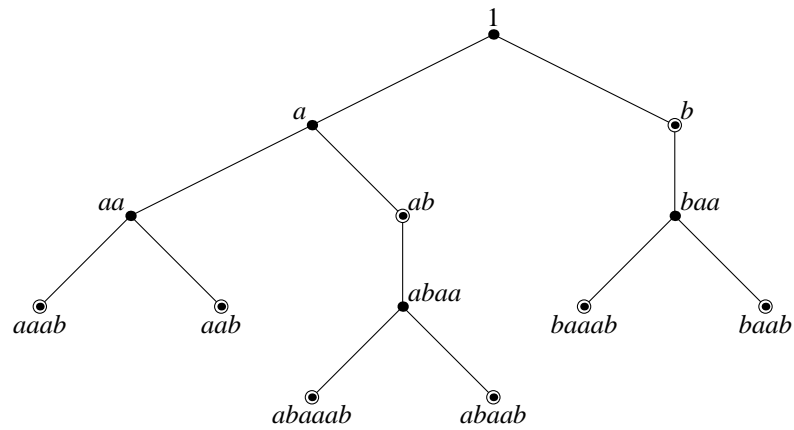


Figura 5.2: Árvore dos Sufixos de  $\{abaab, abaaab\}$ . A rotulação das arestas foi omitida.

## 5.5 Uma construção eficiente de Árvores dos Sufixos

Pode ser demonstrado [P.73] que a Árvore dos Sufixos Generalizada de um conjunto  $W$  de palavras pode ser construída com complexidade  $O(n)$  de tempo e espaço, onde  $n$  é a soma dos comprimentos das palavras em  $W$ .

# Capítulo 6

## Listagem de documentos

### 6.1 Descrição do problema

Seja  $B = \{d_1, \dots, d_k\}$  um conjunto de palavras que serão chamadas de “documentos”; comumente, chama-se o conjunto  $B$  de “biblioteca”. Além disso, definimos o tamanho da biblioteca como  $n \stackrel{\text{def}}{=} \sum_i |d_i|$ .

No problema da listagem de documentos, o conjunto  $B$  é dado e permite-se um pré-processamento. As consultas consistem em uma palavra  $p$  e o objetivo é devolver o subconjunto de  $B$  dos documentos que contém uma ou mais ocorrências de  $p$ . Mais formalmente, um documento  $d_i$  contém uma ocorrência de  $p$  se e somente se  $p$  é um fator de  $d_i$ .

A Árvore dos Sufixos Generalizada será a estrutura adequada para armazenarmos todos os sufixos da biblioteca  $B$ .

### 6.2 Um algoritmo eficiente

Seja  $B$  uma biblioteca dada. Considere  $T$ , a Árvore dos Sufixos Generalizada de  $B$ . Chame de  $f_1, f_2, \dots, f_j$  os vértices finais de  $T$  descobertos nesta ordem após uma busca em profundidade em  $T$ .

Em geral, pode haver um vértice  $f_i$  cujo rótulo  $\lambda(f_i)$  seja sufixo de dois (ou mais) documentos  $d_x, d_y$ . Vamos exemplificar esse fenômeno no exemplo seguinte. Suponha que temos  $B = \{abaab, abaaab\}$ .

No caso do exemplo acima, o vértice  $f_2$  (rotulado com  $aab$ ), possui rótulo pertencente a dois documentos ( $aab$  é sufixo tanto de  $abaab$  quanto de  $abaaab$ ). Por conta disso, suporemos que a árvore  $T$  é construída de forma

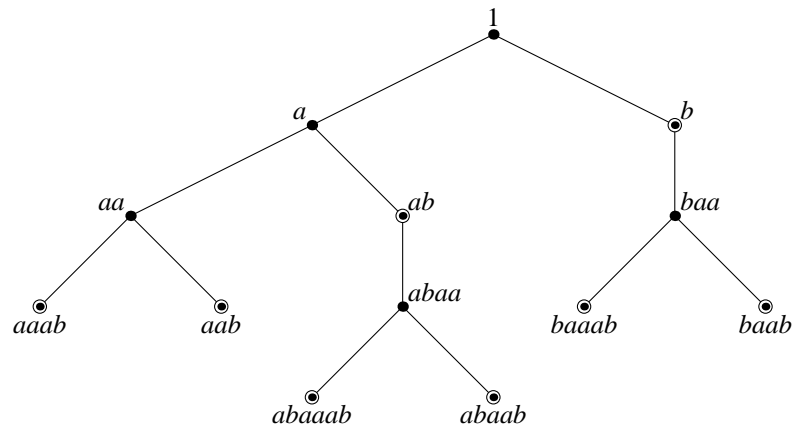


Figura 6.1: Árvore dos Sufixos de  $\{abaab, abaaab\}$

a conter <sup>1</sup>, em cada vértice  $v$ , uma lista ligada que armazena os índices dos documentos dos quais  $\lambda(v)$  é sufixo. Por simplicidade, suporemos também que os índices dos documentos que figuram nestas listas ligadas estão em ordem crescente<sup>2</sup>.

Novamente, considerando o exemplo, o vértice  $f_2$  conteria uma lista ligada de dois elementos: 1 e 2. Já o vértice  $f_1$ , por ser rotulado com  $aaab$ , conteria uma lista ligada de um elemento: 2.

Considere todos os valores das listas ligadas dos vértices  $f_1, f_2, \dots, f_j$  (nesta ordem) e defina o vetor  $D$  como o vetor que armazena estes valores. Ainda no exemplo acima, teríamos:

$D[i]$	2	1	2	1	2	2	2	1	2	2	1
$i$	1	2	3	4	5	6	7	8	9	10	11

Tabela 6.1: Vetor  $D$  associado à Árvore dos Sufixos do exemplo

É importante notar que  $D$  possui exatamente  $n$  elementos (precisamente o número de sufixos da biblioteca, contando repetições, isto é, sufixos que ocorrem em mais de um documento).

<sup>1</sup>Esta suposição não compromete a complexidade da construção eficiente de uma Árvore dos Sufixos.

<sup>2</sup>A ordem dos índices contidos em uma certa lista ligada não altera o funcionamento do algoritmo; a suposição é feita apenas para facilitar a exemplificação.

**Definição 23** *Seja  $p$  uma palavra. O lugar de  $p$ , denotado  $u_p$ , é o vértice da Árvore de Sufixos Generalizada tal que  $\lambda(u_p)$  possui  $p$  como prefixo e tem  $|\lambda(u_p)|$  mínimo.*

Note que se  $p$  não ocorrer em nenhum documento, então  $u_p$  não existe. É possível mostrar que [P.73] a Árvore de Sufixos Generalizada de uma biblioteca pode ser construída em  $O(n)$  unidades de tempo e espaço e, dada qualquer palavra  $p$ , em  $O(|p|)$  unidades de tempo podemos determinar seu lugar  $u_p$  ou afirmar que  $u_p$  não existe.

Agora descreveremos brevemente uma primeira estratégia para um algoritmo eficiente para a Listagem de Documentos.

O pré-processamento constitui-se em:

1. Construir  $T$ , a Árvore dos Sufixos Generalizada de  $B$ .
2. Fazer uma busca em profundidade em  $T$ , construindo o vetor  $D$ .

Antes de mostrarmos uma primeira maneira de responder consultas, fazemos as seguintes observações:

1. Dado  $p$ , considere seu lugar  $u_p$ . Se  $u_p$  não existir, a resposta à consulta é vazia, isto é,  $p$  não ocorre em nenhum documento de  $B$ .
2. Defina  $f_s$  como o primeiro vértice final descoberto à esquerda de  $u_p$  e  $f_b$  como o último vértice final descoberto à direita de  $u_p$ . (Nosso pré-processamento encarregar-se de armazenar as referências para  $f_s$  e  $f_b$  em cada vértice de  $T$ , durante a busca em profundidade).
3. Agora,  $\lambda(f_s)$  possui  $\lambda(u_p)$  como prefixo (e portanto  $p$ ) e é lexicograficamente o menor sufixo da biblioteca com essa propriedade. Analogamente,  $\lambda(f_b)$  é lexicograficamente o maior sufixo da biblioteca dentre aqueles que começam com  $\lambda(u_p)$ .

Portanto, um sufixo na biblioteca começa com  $p$  se e somente se algum dos vértices finais  $f_s, \dots, f_b$  possui  $p$  como prefixo de seu rótulo.

**Problema 24** *(Consulta de cores) Dado um vetor  $A[1 \dots n]$  de “cores” para ser pré-processado, as consultas consistem em inteiros  $(i, j)$  com  $1 \leq i \leq j \leq n$ ; a resposta à consulta é o conjunto de “cores” distintas que ocorrem em  $A[i \dots j]$ .*

O problema da listagem de documentos pode ser reduzido ao problema acima da seguinte maneira: Considere o vetor  $D$  definido anteriormente, e seja o índice de cada documento sua cor. Então a consulta com palavra  $p$  resume-se a encontrar as cores distintas em  $D[s \dots b]$  (aqui,  $s$  e  $b$  são os índices dos vértices finais definidos na segunda observação acima).

O melhor algoritmo para o problema da consulta de cores é capaz de resolvê-lo em tempo  $O(\log n + \text{numdocs})$  [eML93] (aqui,  $\text{numdocs}$  é o número de documentos onde  $p$  ocorre). No entanto, isso não será suficiente para o desenvolvimento do nosso algoritmo: procuramos uma solução que determine quais são os documentos que contém  $p$  em  $O(\text{numdocs})$  (após o lugar de  $p$  já ter sido encontrado).

A idéia básica para resolver essa questão é a seguinte: não resolveremos a consulta de cores no vetor  $D$ . Ao invés disso, construiremos apropriadamente um vetor  $C$  juntamente à construção do vetor  $D$ , e resolveremos o problema do “mínimo de um vetor”. Defina o vetor  $C$  da seguinte maneira:  $C[i] = j$  se e somente se  $j < i$  e  $D[i] = D[j]$  e  $j$  é o maior inteiro com essa propriedade. Se tal  $j$  não existir, definimos  $C[i] = -1$ .

$C[i]$	-1	-1	1	2	3	5	6	4	7	9	8
$i$	1	2	3	4	5	6	7	8	9	10	11

Tabela 6.2: Vetor  $C$  associado à Árvore dos Sufixos do exemplo

**Lema 25** *O documento  $i$  contém  $p$  se e somente se existe exatamente um  $k \in [s, b]$  tal que  $D[k] = i$  e  $C[k] < s$ .*

*Prova.* Omitida. O leitor pode conferi-la em [Mut]. ■

Utilizando o lema acima, resolveremos o problema da listagem de documentos mais eficientemente da seguinte maneira [Mut]: encontramos o índice do mínimo  $\alpha = \text{argmin } C[s \dots b]$ . Se  $\alpha \geq s$ , então a resposta à consulta é vazia (ou seja,  $p$  não ocorre em nenhum documento  $d_i$ ). Se  $\alpha < s$ , então imprimimos  $D[\alpha]$  e repetimos esse procedimento nos dois subvetores: encontraremos o índice do mínimo em  $C[s \dots \alpha - 1]$  e  $C[\alpha + 1 \dots b]$ .

Resumiremos agora então a estratégia definitiva do algoritmo para a listagem de documentos:

O algoritmo de pré-processamento recebe uma biblioteca  $B$  e consiste em:

1. Construir  $T$ , a Árvore dos Sufixos Generalizada de  $B$ .

2. Fazer uma busca em profundidade em  $T$ , enumerando os vértices finais de  $T$  (na ordem em que são descobertos), salvando em cada vértice referências para  $f_s$  e  $f_b$ , e construindo os vetores  $C$  e  $D$ .
3. Pré-processar o vetor  $C$  com um algoritmo eficiente que resolva o problema do mínimo de um vetor.

O algoritmo que responde as consultas recebe a palavra  $p$  e consiste em:

1. Encontrar  $u_p$ , o lugar de  $p$ .
2. Em  $u_p$ , ler a referência para  $f_s$  e  $f_b$ .
3. Recursivamente repetir a seguinte rotina: Encontre a posição do mínimo de  $C[s \dots b]$ , chame-a de  $k$ . Se  $C[k] \geq s$ , então pare. Senão, imprima  $D[k]$  e repita a rotina nos subvetores  $C[s \dots k - 1]$  e  $C[k + 1 \dots b]$ .

Já foi mencionado que a Árvore dos Sufixos Generalizada de  $B$  pode ser construída usando tempo e espaço  $O(n)$  (lembramos que  $n \stackrel{\text{def}}{=} \sum_i |d_i|$  é o tamanho da biblioteca). A busca em profundidade citada e a construção dos vetores  $C$  e  $D$  também são feitas com a mesma complexidade. Já vimos que o pré-processamento do vetor  $C$  visando consultas de mínimos de subvetores de  $C$  é também linear em  $n$  (os vetores  $C$  e  $D$  possuem precisamente  $n$  elementos). Portanto, o pré-processamento deste algoritmo para a listagem de documentos é  $O(n)$ .

A resposta às consultas encontra o lugar de  $p$ , que pode ser feito em tempo  $O(|p|)$ . Depois disso, fazemos algumas consultas a mínimos de subvetores do vetor  $C$ , gastando tempo constante para cada consulta. Mais precisamente, fazemos  $numdocs$  consultas, já que para cada documento  $d_i$  onde  $p$  ocorre há apenas um  $k \in [s, b]$  com  $C[k] < s$  e  $D[k] = i$ . Dessa maneira, o algoritmo que responde a consultas é  $O(|p| + numdocs)$ .



# Capítulo 7

## LCS

### 7.1 Descrição do problema

Seja  $s = x_1x_2\dots x_n$  uma palavra. Uma subsequência de  $s$  é uma palavra  $u = u_1u_2\dots u_k$  tal que existem inteiros  $\alpha_1 < \alpha_2 < \dots < \alpha_k$  que satisfazem  $u_i = s_{\alpha_i}$  para todo  $1 \leq i \leq k$ .

Uma subsequência comum a  $s$  e  $t$  é uma palavra  $u$  que é subsequência de  $s$  e também de  $t$ .

Por definição, a palavra vazia  $\lambda$  é subsequência comum a quaisquer duas palavras. É fácil ver que o conjunto de subsequências comuns a duas palavras é finito (devido à finitude do comprimento das palavras). Desta forma, dadas duas palavras, sempre existe uma subsequência comum de comprimento máximo (não necessariamente única).

**Exemplo 26** *A subsequência comum de comprimento máximo não é única. Considere  $s = abca$ ,  $t = acba$ . Por força bruta, é fácil ver que  $ac$  e  $ab$  são as subsequências comuns mais compridas.*

Denotaremos uma subsequência comum a  $s$  e  $t$  mais comprida simplesmente por  $lcs(s, t)$ .

### 7.2 Motivação

O problema de encontrar  $lcs(s, t)$  é um problema de otimização que surge naturalmente em muitas aplicações práticas, como na comparação de seqüências

genéticas e na determinação de similaridades entre dois arquivos texto, por exemplo.

### 7.3 Algoritmo $O(nm)$ ( $n = |s|$ , $m = |t|$ )

Apresentaremos um algoritmo que usa programação dinâmica para a solução do LCS. Defina  $lcs\_p(i, j)$  como o comprimento da subsequência comum mais comprida de  $s[1 \dots i]$  e  $t[1 \dots j]$ . Não é difícil ver que  $lcs\_p(i, j)$  satisfaz a seguinte recorrência:

$$lcs\_p(i, j) = \begin{cases} lcs\_p(i-1, j-1) + 1 & , \text{ se } s[i] = t[j] \\ \max\{lcs\_p(i-1, j), lcs\_p(i, j-1)\} & , \text{ caso contrário} \end{cases}$$

para todo  $1 \leq i \leq |s|$  e todo  $1 \leq j \leq |t|$ .

$$lcs\_p(i, 0) = lcs\_p(0, j) = 0$$

para todo  $0 \leq i \leq |s|$  e todo  $0 \leq j \leq |t|$ .

O seguinte algoritmo calcula, dados  $s$  e  $t$ , o comprimento  $|lcs(s, t)|$ . A idéia do algoritmo é calcular  $lcs\_p(i, j)$  primeiramente para valores pequenos de  $i$  e  $j$ , até calcular  $lcs\_p(|s|, |t|) = |lcs(s, t)|$  (isto é, o algoritmo implementa uma solução bottom-up para o problema).

---

#### Algorithm 1 Algoritmo dinâmico para o LCS

---

LCS-DYN( $s[1..n], t[1..m]$ )

1 para  $i$  de 0 até  $n$  faça

2      $C[i, 0] \leftarrow 0$

3 para  $j$  de 0 até  $m$  faça

4      $C[0, j] \leftarrow 0$

5 para  $i$  de 0 até  $n$  faça

6     para  $j$  de 0 até  $m$  faça

7         se  $s[i] = t[j]$  então

8              $C[i, j] \leftarrow C[i-1, j-1] + 1$

9         senão  $C[i, j] \leftarrow \max\{C[i-1, j], C[i, j-1]\}$

10 devolva  $C[n, m]$

---

É fácil modificar o algoritmo de forma a obter de fato a palavra  $lcs(s, t)$ , e não somente o comprimento  $|lcs(s, t)|$ . Basta alocarmos, adicionalmente,

## 7.4. PRELIMINARES PARA UM SEGUNDO ALGORITMO PARA O LCS27

uma matriz  $B[i, j]$  de mesmas dimensões que  $C[i, j]$ , e “registrarmos a origem” dos valores  $C[i, j]$ .

### 7.4 Preliminares para um segundo algoritmo para o LCS

Sejam  $s, t$  duas palavras sobre  $\Sigma$ , sejam  $n = |s|$ ,  $m = |t|$ . Antes de começarmos uma série de definições para o entendimento de um segundo algoritmo para o LCS, iremos definir mais parâmetros do problema. Reservaremos a letra  $l$  para o comprimento do  $lcs(s, t)$ . Definimos também a seguinte grandeza:  $d \stackrel{\text{def}}{=} n + m - 2l$ . Para esta definição não parecer totalmente arbitrária, motivaremos esta atitude informalmente no parágrafo seguinte.

Podemos pensar no número mínimo de operações necessárias para transformar  $a$  em  $b$ . Podemos “remover” de  $a$  os  $n - l$  caracteres que não aparecem em  $lcs(s, t)$ . Em seguida, “adicionamos” os  $m - l$  caracteres presentes em  $b$  que não estão em  $lcs(s, t)$ . Temos então  $n - l + m - l = n + m - 2l$  “operações”, e está assim de certa maneira motivada a definição de  $d$ .

O leitor pode interpretar  $l$  da seguinte maneira:  $l$  é maior quanto maior for a “semelhança” entre  $a$  e  $b$ . De maneira oposta,  $d$  é maior quanto maior for a “diferença” entre  $a$  e  $b$ .

Introduziremos um formalismo bastante intuitivo para a compreensão de um segundo algoritmo para o cálculo do LCS entre duas palavras [Mye]. Assim como no algoritmo dinâmico, a princípio nos preocuparemos em descrever um algoritmo que encontre o comprimento  $|lcs(s, t)|$ .

### 7.5 O algoritmo $O((n+m)d)$ de Myers

**Definição 27** O grafo de edição das palavras  $s, t$  é um grafo  $\vec{G} = (V, E)$  tal que:

- Para cada par de inteiros  $x, y$ ,  $0 \leq x \leq n$  e  $0 \leq y \leq m$ , existe um vértice  $v \in V$ . É útil pensarmos no grafo como um malha discreta (ou “grid”, em inglês).
- Para cada par de inteiros  $x, y$ ,  $0 \leq x \leq n - 1$  e  $0 \leq y \leq m$ , existe uma aresta “horizontal” cujo início é  $x, y$  e cujo término é  $x + 1, y$ .

- Para cada par de inteiros  $x, y$ ,  $0 \leq x \leq n$  e  $0 \leq y \leq m-1$ , existe uma aresta “vertical” cujo início é  $x, y$  e cujo término é  $x, y+1$ .
- Para cada par de inteiros  $x, y$ ,  $0 \leq x \leq n-1$  e  $0 \leq y \leq m-1$ , se tivermos  $a[x] = b[y]$ , então existe uma aresta “diagonal” cujo início é  $x-1, y-1$  e cujo término é  $x, y$ .

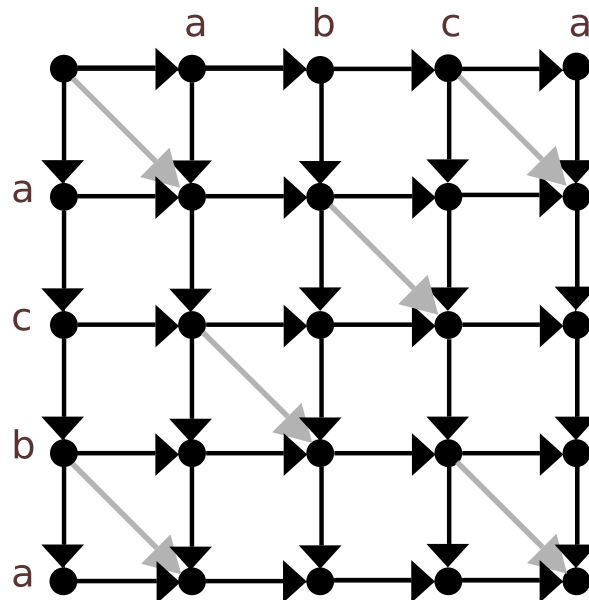


Figura 7.1: Grafo de edição de  $abca, acba$ . As arestas diagonais estão em cinza apenas para haver maior destaque.

**Definição 28** Chamamos de *traçado de tamanho  $k$*  um conjunto de arestas diagonais  $\{e_1, \dots, e_k\}$  de um grafo de edição  $\vec{G}$  tal que  $e_1, \dots, e_k$  estão contidas em algum caminho de  $\vec{G}$ .

Não é difícil ver que a existência de uma subsequência comum a  $s$  e  $t$  de comprimento  $k$  implica na existência de um traçado de comprimento  $k$  no grafo de edição de  $s, t$ .

A estratégia do nosso algoritmo será encontrar um traçado de tamanho máximo no grafo de edição de duas palavras. Na realidade, o grafo não será construído explicitamente, o conceito de grafo de edição apenas auxilia o entendimento do algoritmo.

O leitor pode facilmente constatar que um traçado sempre está contido em algum caminho que inicia em  $(0,0)$  e termina em  $(n,m)$ . Então nosso algoritmo procurará por um caminho que inicia em  $(0,0)$  e termina em  $(n,m)$  com o maior número de arestas diagonais.

**Proposição 29** *Um caminho de  $(0,0)$  a  $(n,m)$  com  $D$  arestas não diagonais possui  $c = (n + m - D)/2$  arestas diagonais, e portanto determina uma subsequência comum de comprimento  $c$ .*

*Prova.* Seja  $p$  o caminho de  $(0,0)$  a  $(n,m)$ . Note que as arestas de  $p$  que partem de um vértice  $(x,y)$  necessariamente aumentam o valor  $x + y$ . As arestas diagonais aumentam  $x + y$  duas unidades, e as arestas não diagonais aumentam  $x + y$  uma unidade. Então, se  $D$  é o número de arestas não diagonais e  $c$  é o número de arestas diagonais, temos  $2c + D = n + m \iff c = (n + m - D)/2$  ■

Como na proposição acima, devido à igualdade  $2c + D = n + m$ , é fácil ver que o caminho de  $(0,0)$  a  $(n,m)$  com maior número arestas diagonais é aquele com o menor número de arestas não diagonais.

**Definição 30** *Um caminho no grafo de edição que começa em  $(0,0)$  e possui  $D$  arestas não-diagonais será chamado de  $D$ -caminho.*

**Definição 31** *A  $k$ -ésima diagonal de um grafo de edição é o conjunto de vértices  $(x,y)$  tais que  $x - y = k$ .*

**Definição 32** *Um  $D$ -caminho que termina na diagonal  $k$  será chamado de “mais distante” se, dentre todos os  $D$ -caminhos que terminam na diagonal  $k$ , for aquele cujo vértice final possui maior coordenada  $x$  (e portanto, maior coordenada  $y$  também).*

**Exemplo 33** *Qualquer  $D$ -caminho que termina em  $(n,m)$  é mais distante.*

Agora temos as definições necessárias para tornar a estratégia do algoritmo mais explícita: procuraremos todos os  $D$ -caminhos mais distantes em ordem crescente de  $D$ . Isto é, procuraremos todos os  $0$ -caminhos mais distantes, depois todos os  $1$ -caminhos mais distantes e assim por diante. O algoritmo parará assim que um  $D$ -caminho mais distante terminar no vértice  $(n,m)$ .

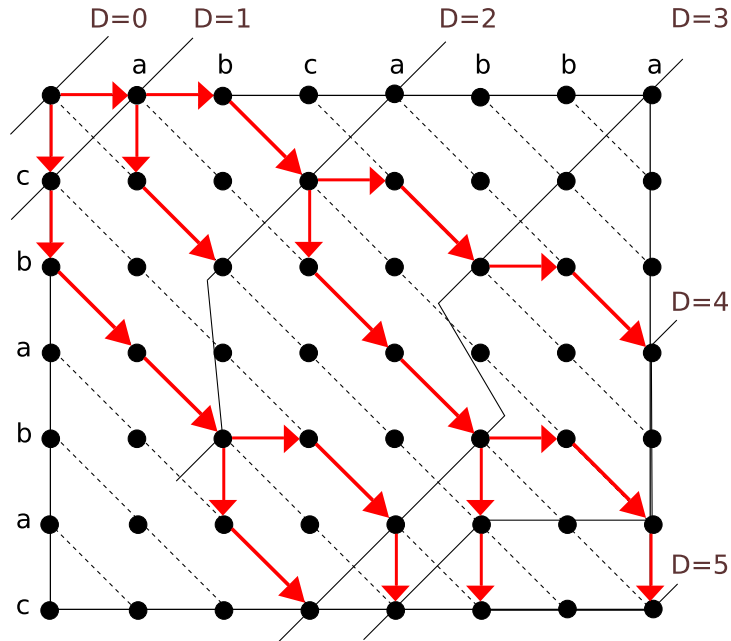


Figura 7.2: D-caminhos em um grafo de edição

Na figura acima, temos representados os limites dos D-caminhos para  $0 \leq D \leq 5$ . Com  $D = 5$ , o algoritmo pára pois um 5-caminho chegou ao vértice  $(n, m)$ . Nesta imagem, só foram representadas as arestas que fazem parte de algum D-caminho percorrido pelo algoritmo.

**Proposição 34** *Um D-caminho necessariamente tem seu último vértice pertencente a alguma das diagonais  $\{-D, -D + 2, \dots, D - 2, D\}$ .*

*Prova.* Usaremos indução em D. Um 0-caminho é formado somente por arestas diagonais, além disso, começa na diagonal 0. Portanto, também termina na diagonal 0.

Suponha que a tese valha para D-caminhos. Isto é, um D-caminho termina na diagonal  $k \in \{-D, -D + 2, \dots, D - 2, D\}$ . É claro que um  $(D+1)$ -caminho pode ser decomposto em um D-caminho, mais uma aresta  $e$  não diagonal seguida por algumas (ou nenhuma) arestas diagonais. Pela hipótese de indução, há duas possibilidades:  $e$  incide na diagonal  $k + 1$  ou na diagonal  $k - 1$ . Como as arestas diagonais do fim da decomposição não alteram a diagonal final, temos que o  $(D+1)$ -caminho termina na di-

agonal  $k \pm 1 \in \{-D \pm 1, (-D + 2) \pm 1, \dots, (D - 2) \pm 1, D \pm 1\} = \{-D - 1, -D + 1, \dots, D - 1, D + 1\}$ , e está provado. ■

---

**Algorithm 2** Algoritmo Myers
 

---

LCS2( $s[1\dots n], t[1\dots m]$ )

```

1  para  $D$  de 0 até  $m + n$  faça
2      para  $k$  de  $-D$  até  $D$  passo 2 faça
3          ▷ Seja  $v$  o vértice final do  $D$ -caminho mais
4          ▷ distante que termina na diagonal  $k$ 
5          se  $v = (n, m)$  então
6              ▷ Pare. O comprimento do LCS é  $(n + m - D) / 2$ 

```

---

Procuraremos explicitar melhor o funcionamento do algoritmo acima: primeiramente diremos como construir  $D$ -caminhos mais distantes: a construção é feita de maneira “gulosa”:  $D$ -caminhos mais distantes são construídos ao aumentarmos gulosamente  $(D-1)$ -caminhos mais distantes. Antes de mostrar esta construção, uma breve definição:

**Definição 35** Uma “cobra” é uma conjunto de arestas diagonais que formam um caminho.

O seguinte lema justifica nossa construção de  $D$ -caminhos mais distantes:

**Lema 36** Um  $0$ -caminho mais distante termina em  $(x - 1, x - 1)$  onde  $x = \min_{z \geq 1} \{a[z] \neq b[z] \text{ ou } z > M \text{ ou } z > N\}$ . Se  $D \geq 1$ , então um  $D$ -caminho mais distante sempre pode ser decomposto de uma das seguintes formas:

- Um  $(D-1)$ -caminho mais distante que termina na diagonal  $k-1$ , seguido por uma aresta horizontal, seguida pela maior cobra possível.
- Um  $(D-1)$ -caminho mais distante que termina na diagonal  $k+1$ , seguido por uma aresta vertical, seguida pela maior cobra possível.

*Prova.* Não demonstraremos este lema por acreditarmos ser de fácil constatação. O leitor pode checar [Mye]. ■

Agora mostramos o algoritmo em toda plenitude, sem detalhes omitidos:

**Algorithm 3** Algoritmo MyersLCS3( $s[1..n], t[1..m]$ )

---

```

1   $V[1] \leftarrow 0$ 
2  para  $D$  de 0 até  $m + n$  faça
3      para  $k$  de  $-D$  até  $D$  passo 2 faça
4          se  $k = -D$  ou ( $k \neq D$  e  $V[k - 1] < V[k + 1]$ ) então
5               $x \leftarrow V[k + 1]$ 
6          senão  $x \leftarrow V[k - 1] + 1$ 
7           $y \leftarrow x - k$ 
8          enquanto  $x < n$  e  $y < M$  e  $a_{x+1} = b_{y+1}$  faça      ▷ percorre a maior
9               $x \leftarrow x + 1$                                        ▷ cobra possível
10              $y \leftarrow y + 1$ 
11              $V[k] \leftarrow x$ 
12             se  $x \geq N$  e  $y \geq M$  então
13                 ▷ Pare. O comprimento do LCS é  $(n + m - D) / 2$ 

```

---

Quem faz o papel de armazenar os D-caminhos mais distantes é o vetor  $V$ , que guarda a abcissa do vértice final dos D-caminhos mais distantes que terminam em cada diagonal  $k = -D, -D + 1, \dots, D - 1, D$ . Não é necessário guardar a outra coordenada do vértice final pois  $y$  pode ser calculado através de  $y = x - k$ , como de fato é feito na linha 7.

## 7.6 Análise do consumo de tempo

Quantas iterações são feitas do laço externo (linha 2) ? Por construção, o algoritmo pára somente quando  $l = (n + m - D)/2$ , isto é,  $D = n + m - 2l = d$ . Portanto, o laço externo itera  $d + 1$  vezes (pois  $D$  é inicialmente zero).

Agora, na  $k$ -ésima iteração do laço externo, o laço interno (linha 3) é iterado exatamente  $k$  vezes. Então o número total de iterações do laço interno é  $1 + 2 + \dots + (d + 1) = (d + 1)(d + 2)/2$ . Todas as linhas internas aos laços executam em tempo constante, a menos do while (linhas 8,9 e 10). Então, o algoritmo gasta, a menos do bloco do while, tempo  $O((d + 1)(d + 2)/2) = O(d^2)$ .

O bloco de while (linhas 8,9,10) é executado uma vez a cada aresta diagonal presente em um D-caminho mais distante sendo construído. O algoritmo só procura caminhos nas diagonais  $-d, -d + 1, \dots, d - 1, d$ , totalizando  $2d + 1$

diagonais. É claro que cada diagonal tem no máximo  $\min(n, m) + 1$  vértices e portanto no máximo  $\min(n, m)$  arestas. Ou seja, o algoritmo não percorre mais do que  $(2d + 1) \min(n, m) = O((n + m)d)$  arestas diagonais.

Em suma: O algoritmo como um todo é  $O((m + n)d)$ . A análise separada do bloco do while foi feita para notar-se que o bloco do while é um “gargalo” do desempenho do algoritmo.

## 7.7 Melhoria da complexidade

Para melhorarmos a complexidade de pior caso, vamos mostrar como percorrer cobras em tempo  $O(1)$ , após feito um pré-processamento  $O(n + m)$ . Vamos descrever como obter essa melhoria concomitantemente à exibição de um exemplo.

**Exemplo 37** Considere novamente as palavras  $s = abca$ ,  $t = acba$ .

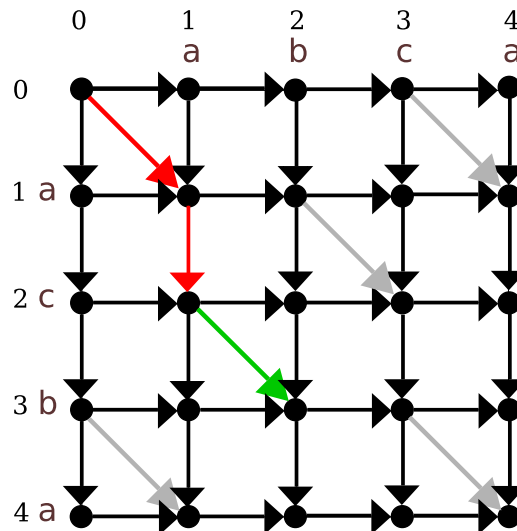


Figura 7.3: Grafo de edição de  $abca, acba$

É claro que podemos identificar naturalmente os vértices de um grafo de edição com os pares  $\{0, \dots, n\} \times \{0, \dots, m\}$ . Por exemplo, quando nos referimos ao vértice  $(1, 2)$  do grafo acima, estamos nos referindo ao vértice inicial da aresta verde. Vamos supor que queremos encontrar o comprimento da cobra maximal cujo vértice inicial é  $(1, 2)$ .

Seja  $(x, y)$  um vértice do grafo de edição das palavras  $s, t$ . O problema de encontrar a cobra maximal que começa em  $(x, y)$  é equivalente a encontrar o maior prefixo comum das subpalavras  $s[x + 1 \dots n]$  e  $t[y + 1 \dots m]$ .

Considere  $T = (V, E, \lambda)$ , a Árvore dos Sufixos da palavra  $s\$_1t\$_2$ , onde  $\$_1$  e  $\$_2$  são símbolos não pertencentes<sup>1</sup> ao alfabeto de  $s$  e  $t$ .

Chame de  $f_x$  o vértice final associado ao sufixo  $s[x + 1 \dots n]\$_1t\$_2$  e chame de  $f_y$  o vértice final associado ao sufixo  $t[y + 1 \dots m]\$_2$ . No nosso exemplo, teríamos  $s[x + 1 \dots n]\$_1t\$_2 = s[1 + 1 \dots n]\$_1t\$_2 = bca\$_1acba\$_2$  e  $t[y + 1 \dots m]\$_2 = t[2 + 1 \dots m]\$_2 = ba\$_2$ . Esquemáticamente:

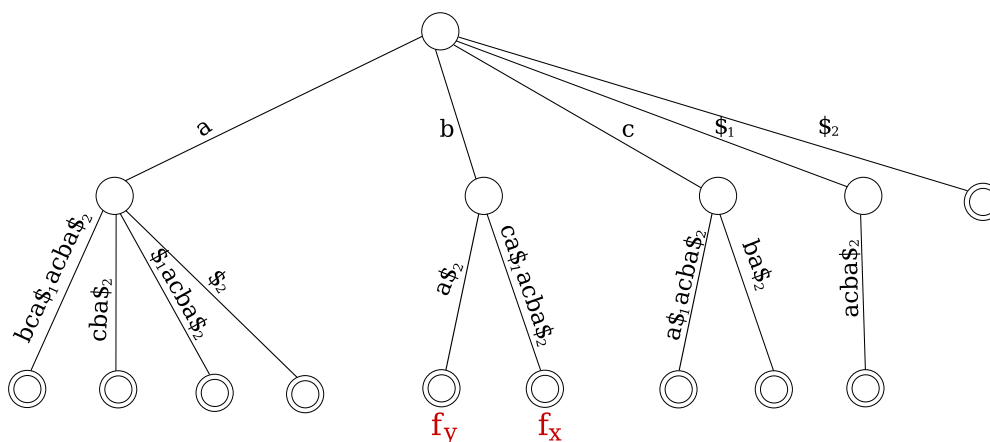


Figura 7.4: Árvore dos Sufixos de  $abca\$_1acba\$_2$

Pela definição de Árvore dos Sufixos,  $\lambda$  rotula arestas com palavras não vazias, portanto qualquer ancestral de  $f_x$  (respectivamente,  $f_y$ ) é rotulado com um prefixo próprio de  $\lambda(f_x)$  (respectivamente,  $\lambda(f_y)$ ) (lembramos que o rótulo de um vértice  $v$  é a concatenação dos rótulos das arestas contidas no caminho de  $Raiz(T)$  até  $v$ ).

Então um ancestral comum a  $f_x$  e  $f_y$  é necessariamente rotulado com um prefixo comum a  $s[x \dots n]\$_1t\$_2$  e  $t[y \dots m]\$_2$ . Se considerarmos  $mac(f_x, f_y)$ , teremos o vértice rotulado com o maior dos prefixos comuns a essas duas subpalavras. É fácil ver (pela não ocorrência de  $\$_1$  e  $\$_2$  em  $s$  e  $t$ ) que tal prefixo comum também é comum a  $s$  e  $t$ . Portanto, a cobra que começa em  $(x, y)$  termina no vértice  $(x + k, y + k)$  onde  $k = |\lambda(mac(f_x, f_y))|$ . No nosso

<sup>1</sup>Também convencionamos, arbitrariamente, que  $\$_1$  é lexicograficamente menor que  $\$_2$ , e isto se reflete na representação desta Árvore dos Sufixos.

exemplo, o comprimento da cobra é 1, pois o  $mac(f_x, f_y)$  está rotulado com a palavra  $b$ , de comprimento 1.

## 7.8 Análise do algoritmo modificado

Para construir a Árvore de Sufixos de  $s\$_1t\$_2$ , gastamos  $O(n + m)$  unidades de tempo e espaço. A partir daí podemos obter o vértice final de uma cobra qualquer em tempo constante.

Segue facilmente da análise do algoritmo de Myers que esta modificação resulta em um algoritmo  $O(m + n + d^2)$  para o cálculo do comprimento de  $lcs(s, t)$ .

## 7.9 Como obter o LCS

O algoritmo descrito encontra o comprimento de  $lcs(s, t)$ . Para obtermos de fato a subsequência comum mais comprida de  $s$  e  $t$ , precisamos guardar uma cópia do vetor  $V$  a cada iteração do laço externo (linha 2). Esta modificação resulta em um algoritmo que utiliza espaço proporcional a  $O(d^2)$ . Omitiremos os detalhes desta versão do algoritmo.



# Capítulo 8

## Parte subjetiva

### 8.1 Escolha do tema

Inicialmente, minha intenção era escrever acerca de algum tema pertinente à área de linguagens formais e autômatos. Ao procurar o professor Alair, fui apresentado a um assunto um pouco alheio a esta área: conheci o problema do Menor Ancestral Comum e uma de suas soluções eficientes.

Conhecer esta solução me foi uma grata surpresa: em particular, fui atraído pela sua contra-intuitividade e pela revelação de uma conexão profunda do MAC com um problema aparentemente não correlato (o problema do mínimo de um vetor contínuo); estes dois fatores culminaram na execução deste trabalho.

### 8.2 Disciplinas mais relevantes para este trabalho

- MAC0338 - Análise de Algoritmos: O estudo do crescimento assintótico de funções, o conceito de programação dinâmica e a análise de algoritmos que resolvem problemas de otimização combinatória foram de fundamental importância para este trabalho.
- MAC0323 - Estruturas de dados: Aprender a complexidade das operações de inserção, remoção e busca em estruturas de dados diversas foi essencial para minha compreensão e consequente escrita sobre esse assunto.

- MAC0328 - Algoritmos em grafos: Muitos assuntos abordados nesta disciplina não foram usados diretamente, exceção feita à busca em profundidade, que foi de vital importância para o meu entendimento de algoritmos como o da Listagem de Documentos.

Naturalmente, inúmeras outras disciplinas do currículo contribuíram de maneira indireta para o andamento de minha iniciação científica.

### 8.3 Desafios e frustrações

Nesta iniciação científica, senti dificuldades para confluenciar informações oriundas de artigos distintos: em particular, o uso de notações diferentes, pelas diversas fontes de informação, foi um empecilho inicial considerável.

Apesar de não ter havido bolsa para este trabalho e, conseqüentemente, não ter havido a necessidade de reportar-me a nenhum órgão de fomento, senti dificuldade inicialmente em manter o desempenho nas disciplinas do instituto, devido à escolha de algumas matérias optativas de renomada dificuldade.

No que diz respeito a frustrações, sinto apenas não ter podido discorrer sobre a análise de caso médio do algoritmo de Myers, estabelecendo um modelo probabilístico de comparação de seqüências aleatórias. Isto teria mostrado ao leitor que a complexidade  $O((m+n)d)$  é atingida somente em instâncias de certa maneira bastante particulares.

### 8.4 Agradecimentos

Ao meu orientador, Alair; à minha família e a todos os professores do instituto com os quais tive contato ao longo destes anos. Por fim, agradeço também aos meus colegas e amigos, sejam de fora ou de dentro do IME.

# Referências Bibliográficas

- [APdL03] Imre Simon Alair Pereira do Lago. Tópicos em algoritmos sobre seqüências. *24o Colóquio Brasileiro de Matemática*, 2003.
- [BM00] Michael W. Bender and Farach-Colton Martín. The LCA problem revisited. *Latin American Theoretical INformatics*, 2000.
- [eML93] R. Janardan e M. Lopez. Generalized intersection searching problems. *International Journal of Computing and Geometric Applications*, pages 39–69, 1993.
- [Mut] S. Muthukrishnan. Efficient algorithms for document retrieval problems. *ACM-SIAM Symposium on Discrete Algorithms*.
- [Mye] Eugene W. Myers. An  $O(ND)$  difference algorithm and its variations. *Algorithmica*.
- [P.73] Weiner P. Linear pattern matching algorithms. *Proceedings of 14th IEEE Symposium on Switching and Automata Theory*, pages 1–11, 1973.